

К теории мод шепчущей галереи шарового слоя

Д.В.Гузатов, А.Н.Ораевский

На основе аппроксимации функций Бесселя функциями Эйри построена теория мод шепчущей галереи (МШГ) диэлектрического шарового слоя. Исследованы зависимости собственных частот и эффективного объема моды от ее индекса и ширины слоя. Показано, что существует оптимальная толщина слоя, при которой интенсивности полей МШГ в шаровом слое более чем на порядок превосходят интенсивности полей МШГ сплошного шара.

Ключевые слова: шаровой слой, моды шепчущей галереи, эффективный объем.

1. Введение

Интерес к использованию мод шепчущей галереи (МШГ) диэлектрических и полупроводниковых микрошаров обусловлен их высокой ($\sim 10^9$) добротностью и малым эффективным объемом [1–8]. Электродинамика МШГ рассматривалась в [2, 5–7].

МШГ представляет собой шаровую моду с большим радиальным индексом [9, 10]. Характеристическое уравнение для собственных частот таких мод было записано Г.Ми еще в 1908 г., но существенный прогресс в его решении для случая МШГ стал возможным, когда Л.А. Вайнштейн предложил метод, основанный на аппроксимации функций Бесселя функциями Эйри. Такая аппроксимация позволила аналитически и с хорошей точностью найти собственные частоты МШГ диэлектрического шара и добротность, обусловленную радиационными потерями [9]. Формула для эффективного объема локализации поля в МШГ была получена в работах [5, 10].

Наряду с диэлектрическими микрошарами в экспериментах используются и шаровые слои [8, 11–15]. В [8, 12, 14, 15] получено характеристическое уравнение в общем виде и, в соответствии с постановкой задачи в каждой конкретной работе, проведены численные расчеты характеристик МШГ.

Наше внимание к теории МШГ в диэлектрическом слое было привлечено вопросом: можно ли концентрировать энергию в диэлектрическом слое подобно тому, как это происходит в планарном диэлектрическом волноводе? Для ответа на этот вопрос следовало детально изучить структуру, собственные частоты и добротности этих мод в зависимости от толщины диэлектрического слоя. При этом желательно было получить сравнительно простые расчетные формулы. Заметим, что расчет с использованием бесселевых функций с очень большим индексом является весьма трудоемким даже с применением компьютера. Поэтому мы исследовали характеристические уравнения для частот МШГ в диэлектрическом слое с помощью функций Эйри.

2. Электромагнитное поле шарового слоя

Рассмотрим шаровой слой с внутренним и внешним радиусами a и b соответственно, изготовленный из однородного диэлектрика с электрической проницаемостью ε и магнитной проницаемостью μ . Обычно разделяют поля двух типов: электрического, или E -типа ($H_r = 0$), и магнитного, или H -типа ($E_r = 0$). Для поля электрического типа имеют место выражения [9, 16]

$$E_r = \frac{\partial^2 U}{\partial r^2} + k^2 \varepsilon \mu U, \quad E_\theta = \frac{1}{r} \frac{\partial^2 U}{\partial r \partial \theta}, \quad E_\varphi = \frac{1}{r \sin \theta} \frac{\partial^2 U}{\partial r \partial \varphi},$$

$$H_r = 0, \quad H_\theta = -\frac{i k \varepsilon}{r \sin \theta} \frac{\partial U}{\partial \varphi}, \quad H_\varphi = \frac{i k \varepsilon}{r} \frac{\partial U}{\partial \theta}.$$
(1)

Здесь $k = \omega/c$; U – функция Герца [16], которая внутри шарового слоя ($a < r < b$) имеет вид

$$U = C_{nm}^{(E)} \{ j_n [kr(\varepsilon\mu)^{1/2}] - \beta j_{-n-1} [kr(\varepsilon\mu)^{1/2}] \} \times P_n^m(\cos \theta) \begin{cases} \sin m\varphi \\ \cos m\varphi \end{cases},$$
(2)

где $C_{nm}^{(E)}$ – постоянная интегрирования, которая определяется введенной в шар энергией (ее можно назвать константой возбуждения), а β находится из граничных условий. Вне шарового слоя ($\varepsilon = \mu = 1$) функция Герца записывается следующим образом:

$$U = C_{nm}^{(E)} \varepsilon \frac{\{ j_n [ka(\varepsilon\mu)^{1/2}] - \beta j_{-n-1} [ka(\varepsilon\mu)^{1/2}] \}}{j_n(ka)} j_n(kr) \times P_n^m(\cos \theta) \begin{cases} \sin m\varphi \\ \cos m\varphi \end{cases}$$
(3)

для $r < a$ и

$$U = C_{nm}^{(E)} \varepsilon \frac{\{ j_n [ka(\varepsilon\mu)^{1/2}] - \beta j_{-n-1} [ka(\varepsilon\mu)^{1/2}] \}}{h_n(ka)} h_n(kr) \times P_n^m(\cos \theta) \begin{cases} \sin m\varphi \\ \cos m\varphi \end{cases}$$
(4)

для $r > a$. В этих формулах P_n^m – присоединенные полиномы Лежандра; j_n и h_n – функции Риккати–Бесселя [17], связанные с функциями Бесселя и Ханкеля соотношениями

$$j_n(x) = \left(\frac{\pi x}{2}\right)^{1/2} J_{n+1/2}(x),$$

$$h_n(x) = \left(\frac{\pi x}{2}\right)^{1/2} H_{n+1/2}^{(1)}(x). \tag{5}$$

Для определения частоты электромагнитных колебаний слоя следует найти решение характеристического уравнения с учетом непрерывности тангенциальных компонент поля на границах сред. Для мод E -типа мы получаем следующую систему уравнений:

$$\frac{j_n'[ka(\varepsilon\mu)^{1/2}] - \beta j'_{-n-1}[ka(\varepsilon\mu)^{1/2}]}{j_n[ka(\varepsilon\mu)^{1/2}] - \beta j_{-n-1}[ka(\varepsilon\mu)^{1/2}]} = \left(\frac{\varepsilon}{\mu}\right)^{1/2} \frac{j_n'(ka)}{j_n(ka)},$$

$$\frac{j_n'[kb(\varepsilon\mu)^{1/2}] - \beta j'_{-n-1}[kb(\varepsilon\mu)^{1/2}]}{j_n[kb(\varepsilon\mu)^{1/2}] - \beta j_{-n-1}[kb(\varepsilon\mu)^{1/2}]} = \left(\frac{\varepsilon}{\mu}\right)^{1/2} \frac{h_n'(kb)}{h_n(kb)}. \tag{6}$$

Здесь и далее штрихом обозначена производная по аргументу функции. Исключив β , получим характеристическое уравнение, которое ввиду его громоздкости мы не приводим.

Под МШГ шарового слоя электрического типа будем далее понимать поле (1) с функцией Герца (2) при $m = n \gg 1$ и частотой, определяемой первым корнем характеристического уравнения. При этом должны быть выполнены условия $kb \gg 1$ и $\varepsilon\mu > 1$.

Выражения для электромагнитного поля мод H -типа можно получить непосредственно из формул (1)–(4) и (6) заменой $E \rightarrow H$, $H \rightarrow -E$ и $\mu \rightarrow \varepsilon$, $\varepsilon \rightarrow \mu$, $C_{nm}^{(E)} \rightarrow C_{nm}^{(H)}$.

3. Собственные частоты МШГ

Точное аналитическое решение характеристических уравнений (6) невозможно вследствие их трансцендентного характера, поэтому корни уравнений следует определять численно. Однако прямое использование характеристических уравнений в форме (6) оказывается неудобным из-за плохой сходимости рядов для функций Риккати–Бесселя при больших значениях индексов ($n \sim 10^3 - 10^4$). Прямой расчет требует значительно большего машинного времени, чем при использовании аппроксимирующих выражений через функции Эйри [5, 6].

При $x \geq n + 1/2$ и $(\varepsilon\mu)^{1/2} > 1$ можно использовать следующие приближенные выражения [9]:

$$j_n(x) \approx \frac{t^{1/4}(x)}{[\sin \zeta(x)]^{1/2}} \text{Ai}(-t(x)),$$

$$j_{-n-1}(x) \approx \frac{t^{1/4}(x)}{[\sin \zeta(x)]^{1/2}} \text{Bi}(-t(x)), \tag{7}$$

где Ai и Bi – первая и вторая функции Эйри соответственно; $(2/3)t^{3/2}(x) = (n + 1/2)[\tan \zeta(x) - \zeta(x)]$ и $\cos \zeta(x) = (n + 1/2)/x$. Под x мы понимаем здесь как $ka(\varepsilon\mu)^{1/2}$, так и $kb(\varepsilon\mu)^{1/2}$. Отметим, что выражения (7) можно записать в более простом виде, если $x \approx n + 1/2$ [9]:

$$j_n(x) \approx v^{1/2} \text{Ai}(t_l(x)), \quad j_{-n-1}(x) \approx v^{1/2} \text{Bi}(t_l(x)), \tag{8}$$

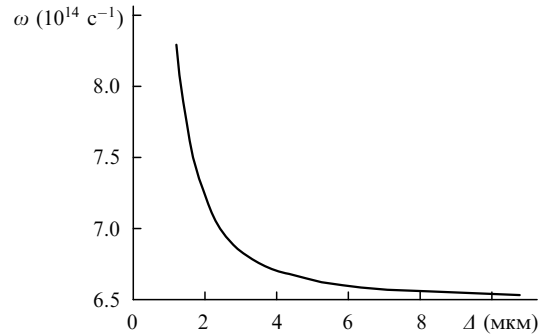


Рис.1. Зависимость собственной частоты ω МШГ от ширины слоя Δ для $n = 1000$.

где

$$v = \left(\frac{n + 1/2}{2}\right)^{1/3}; \quad t_l(x) = 2v^2 - \frac{1}{v}x.$$

В случае $z < n + 1/2$ наиболее удобным является приближение [9]

$$j_n(z) \approx \frac{\tau^{1/4}(z)}{[\sinh \eta(z)]^{1/2}} \text{Ai}(\tau(z)), \tag{9}$$

$$j_{-n-1}(z) \approx \frac{\tau^{1/4}(z)}{[\sinh \eta(z)]^{1/2}} \text{Bi}(\tau(z)),$$

где $(2/3)\tau^{3/2}(z) = (n + 1/2)[\eta(z) - \tanh \eta(z)]$; $\cosh z = (n + 1/2)/z$.

Для численного расчета выберем шаровой слой из кварца ($\varepsilon = 2.347$, $\mu = 1$) со средним радиусом $0.5(a + b) = 300$ мкм. Зависимость действительной части собственной частоты МШГ от ширины слоя представлена на рис.1. Видно, что собственная частота диэлектрического слоя уменьшается с увеличением его ширины. Это важное обстоятельство может быть использовано для подстройки резонансной частоты слоя к частоте излучения возбуждающего лазера при заданном диаметре слоя.

Зависимость собственных частот от индекса моды и ширины слоя можно аппроксимировать следующей функцией:

$$\omega_n(\Delta) \approx \frac{c}{b\varepsilon^{1/2}} \left(2v^3 + 2.3381v + A_1 \exp \left\{ - \left[\left(\alpha_1 - \frac{\gamma_1}{\Delta} \right) v^3 + \delta_1 \right] \Delta \right\} \right). \tag{10}$$

Здесь Δ – ширина слоя в мкм; $v = [0.5(n + 0.5)]^{1/3}$. Численные коэффициенты выражения (10) представлены в табл.1.

Отметим, что для подстройки частоты МШГ слоя к частоте излучения возбуждающего лазера необходимо

Табл.1. Коэффициенты формулы (10).

Коэффициент	E -тип	H -тип
A_1	587.706	948.718
$10^3 \alpha_1$	1.251	0.908
$10^3 \gamma_1$	0.882	0.226
δ_1	5.95	6.43

знать разность частот с соседними индексами. Ее можно получить, продифференцировав формулу (10) по n . В рассматриваемом нами численном примере эта разность частот изменяется от значения $3.26 \times 10^{11}(1 + 0.39/v^2) \text{ с}^{-1}$, соответствующего случаю сплошного шара радиусом $2R$, до значения $6.53 \times 10^{11}[1 + 0.39/v^2 + 0.5\gamma_1 A_1 \times \exp(\gamma_1 v^3)] \text{ с}^{-1}$, соответствующего бесконечно тонкому слою. Заметим также, что при фиксированном среднем радиусе слоя вычисленные коэффициенты возрастают с увеличением диэлектрической проницаемости ε .

Используя формулу (10) и второе из уравнений (6), найдем аппроксимирующую зависимость действительной части коэффициентов β от ширины слоя и индекса n :

$$-\ln \beta_n(\Delta) \approx A_2 n^{\alpha_2} - B_2 \exp \left\{ - \left[\left(\gamma_2 - \frac{\delta_2}{\Delta} \right) v^3 + \sigma_2 \right] \Delta \right\}. \quad (11)$$

Здесь Δ измеряется в мкм, а численные коэффициенты представлены в табл.2. Отметим, что формулы (10) и (11) являются аппроксимацией, найденной с помощью численного эксперимента.

Мнимая часть собственной частоты крайне мала, что обуславливает малые радиационные потери в МШГ. Она настолько мала по сравнению с действительной частью, что сразу найти численно ее комплексное значение практически невозможно. Однако мнимую часть можно вычислить, если воспользоваться идеей Л.А.Вайнштейна [9]. Эта идея состоит в том, что в первом приближении в характеристическом уравнении пренебрегают мнимой частью и вычисляют действительную часть частоты, а в следующем приближении вычисляют комплексную поправку к частоте. Подставляя в (6) соотношения (8) и следуя методике работы [9], получаем

$$\omega_n \approx \frac{c}{b(\varepsilon\mu)^{1/2}} (2v^3 + 2.3381v - \Delta t_n), \quad (12)$$

где Δt_n – комплексная величина. Для МШГ E -типа

$$\Delta t_n \approx [1 + i \exp(-2T_n)] \left[\frac{\varepsilon}{\mu} (\varepsilon\mu - 1) \right]^{-1/2} \left(\frac{2\beta_n - i}{2\beta_n + i} \right). \quad (13)$$

В формуле (13) величина T_n определяется соотношением

$$T_n \approx \left(n + \frac{1}{2} \right) \left[\operatorname{arccosh}(\varepsilon\mu^{1/2}) - \left(1 - \frac{1}{\varepsilon\mu} \right)^{1/2} \right] - 2.3381v \left(1 - \frac{1}{\varepsilon\mu} \right)^{1/2} - \frac{1}{\varepsilon} \left(\frac{2\beta_n - i}{2\beta_n + i} \right). \quad (14)$$

Соответствующие выражения для Δt_n в случае МШГ H -типа получаем из формул (13), (14) заменой $\varepsilon \rightarrow \mu$ и $\mu \rightarrow \varepsilon$.

Следует отметить, что в случае комплексной диэлект-

рической проницаемости $\varepsilon = \varepsilon' + i\varepsilon''$, когда $|\varepsilon''| \ll \varepsilon'$, в полученных выше формулах для МШГ E -типа вместо ε должно быть ε' , а $(2\beta_n - i)/(2\beta_n + i)$ необходимо умножить на $(\varepsilon^*/\varepsilon)^{1/2}$. Для МШГ H -типа достаточно заменить $\varepsilon \rightarrow \varepsilon'$.

Добротность моды, обусловленную радиационными потерями, определим выражением

$$Q_r^{(n)} = - \frac{\operatorname{Re}\omega_n}{2\operatorname{Im}\omega_n}. \quad (15)$$

Из (13), (14) при $\mu = 1$ следует

$$\operatorname{Im}\omega_n^{(E)} \approx - \frac{c}{b\varepsilon(\varepsilon - 1)^{1/2}} \times \frac{4\beta_n - (4\beta_n^2 - 1) \exp(-2T_n^{(E)}) \cos(2\varepsilon\chi_n)}{4\beta_n^2 + 1}, \quad (16)$$

$$\operatorname{Im}\omega_n^{(H)} \approx - \frac{c}{b(\varepsilon - 1)^{1/2}} \times \frac{4\beta_n - (4\beta_n^2 - 1) \exp(-2T_n^{(H)}) \cos(2\varepsilon\chi_n)}{4\beta_n^2 + 1}.$$

В этих формулах

$$T_n^{(H)} = T_n^{(E)} - \varepsilon\chi_n \left(\beta_n - \frac{1}{4\beta_n} \right) \left(1 - \frac{1}{\varepsilon} \right) \approx \left(n + \frac{1}{2} \right) \left[\operatorname{arccosh} \varepsilon^{1/2} - \left(1 - \frac{1}{\varepsilon} \right)^{1/2} \right] - 2.3381v \left(1 - \frac{1}{\varepsilon} \right)^{1/2} - \varepsilon\chi_n \left(\beta_n - \frac{1}{4\beta_n} \right), \quad (17)$$

где

$$\chi_n = \frac{4\beta_n}{\varepsilon(4\beta_n^2 + 1)}.$$

Используя (15), с учетом (16), (17) и (12) нетрудно вычислить добротность, обусловленную радиационными потерями, как функцию параметров диэлектрического слоя и индекса моды.

Из предыдущего рассмотрения видно, что радиационные потери в МШГ шарового слоя неизбежны. Однако они не являются особенностью именно слоистой структуры: аналогичного рода потери существуют и в однородных диэлектрических шарах [9, 10] и обусловлены кривизной шаровой поверхности. Физическая интерпретация этого явления, основанная на конечности скорости света, дана в [9].

Здесь уместно подчеркнуть, что добротность МШГ шарового слоя, как и добротность однородного диэлектрического шара, определяется не только радиационными, но и другими видами потерь. Среди них поверхностное и объемное рассеяние электромагнитной волны и ее поглощение примесями на поверхности. Эти виды потерь не могут быть вычислены в рамках электродинамики идеальной сферы или шарового слоя, и их анализ выходит за рамки настоящей работы. Общий подход к расчету такого рода потерь обсуждается в [10].

Табл.2. Коэффициенты формулы (11).

Коэффициент	E -тип	H -тип
A_2	1.1147	0.3822
α_2	0.1102	0.1898
B_2	1198.927	813.584
$10^3\gamma_2$	1.2578	0.9084
$10^3\delta_2$	0.8706	0.205
σ_2	5.9311	6.4288

4. Эффективный объем

Следуя [5, 6], определим эффективный объем моды формулой

$$V_{\text{eff}}^{(p,n)} = \frac{\int E_{pm}^2(\mathbf{r}) d\mathbf{r}}{(E_{pm}^2)_{\text{max}}} \tag{18}$$

В этом выражении интегрирование производится по объему слоя; p – проекция поля МШГ. Исследование эффективного объема позволяет определять локализацию поля слоем. Рассматривая φ - и θ -проекции поля E -типа, получаем

$$\begin{aligned} V_{\text{eff}}^{(\varphi,E)} &\approx \pi r_{\text{max}} \left(\frac{\pi}{n}\right)^{1/3} \\ &\times \frac{\int_{k_{\text{a}\varphi}^{1/2}}^{k_{b\varphi}^{1/2}} d\zeta [j'_n(\zeta) - \beta_n j'_{-n-1}(\zeta)]^2}{\{\zeta_{\text{max}} [j'_n(\zeta_{\text{max}}) - \beta_n j'_{-n-1}(\zeta_{\text{max}})]^2\}_{\zeta_{\text{max}}=kr_{\text{max}}\varepsilon^{1/2}}} \\ &= \pi r_{\text{max}} \left(\frac{\pi}{n}\right)^{1/3} \frac{1}{f_n^{(E,\varphi)}}, \end{aligned} \tag{19}$$

$$V_{\text{eff}}^{(\theta,E)} \approx \frac{\varepsilon}{2} V_{\text{eff}}^{(\varphi,E)}.$$

Здесь r_{max} – радиальная координата, соответствующая положению максимума интенсивности. Аналогично записываются выражения для эффективного объема радиальной проекции

$$\begin{aligned} V_{\text{eff}}^{(r,E)} &\approx \pi r_{\text{max}} \left(\frac{\pi}{n}\right)^{1/3} \\ &\times \frac{\int_{k_{\text{a}r}^{1/2}}^{k_{b\varphi}^{1/2}} (d\zeta/\zeta^2) [j_n(\zeta) - \beta_n j_{-n-1}(\zeta)]^2}{\{(1/\zeta_{\text{max}}) [j_n(\zeta_{\text{max}}) - \beta_n j_{-n-1}(\zeta_{\text{max}})]^2\}_{\zeta_{\text{max}}=kr_{\text{max}}\varepsilon^{1/2}}} \\ &= \pi r_{\text{max}} \left(\frac{\pi}{n}\right)^{1/3} \frac{1}{f_n^{(r)}} \end{aligned} \tag{20}$$

и объемов θ - и φ -проекций поля волны H -типа

$$\begin{aligned} V_{\text{eff}}^{(\theta,H)} &\approx \pi r_{\text{max}} \left(\frac{\pi}{n}\right)^{1/3} \\ &\times \frac{\int_{k_{\text{a}\theta}^{1/2}}^{k_{b\theta}^{1/2}} d\zeta [j_n(\zeta) - \beta_n j_{-n-1}(\zeta)]^2}{\{\zeta_{\text{max}} [j_n(\zeta_{\text{max}}) - \beta_n j_{-n-1}(\zeta_{\text{max}})]^2\}_{\zeta_{\text{max}}=kr_{\text{max}}\varepsilon^{1/2}}} \\ &= \pi r_{\text{max}} \left(\frac{\pi}{n}\right)^{1/3} \frac{1}{f_n^{(H,\theta)}}, \end{aligned} \tag{21}$$

$$V_{\text{eff}}^{(\varphi,H)} \approx \frac{\varepsilon}{2} V_{\text{eff}}^{(\theta,H)}.$$

Интеграл в (19)–(21) можно взять аналитически. Однако получаемое таким образом выражение неудобно для дальнейших исследований, т. к. r_{max} можно определить лишь численно. Поэтому более удобным является численное исследование параметра f .

На рис.2 и 3 показаны зависимости параметра f от ширины кварцевого шарового слоя ($\varepsilon = 2.347, \mu = 1$) со средним радиусом 300 мкм. Оказывается, что в случае φ - и θ -проекций волны электрического типа имеется минимум, в то время как в случае радиальной проекции МШГ E -типа и θ - и φ -проекций волны H -типа минимумов нет.

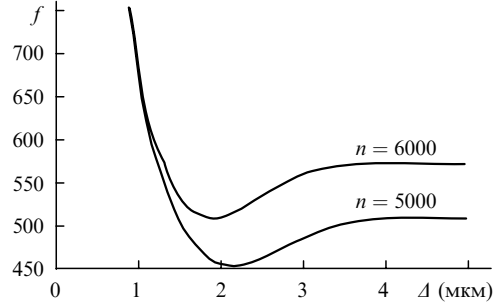


Рис.2. Зависимости f -параметра φ -проекции МШГ E -типа от ширины слоя Δ для $n = 5000$ и 6000 .

Исходя из определения эффективного объема, в точке минимума f для φ - и θ -проекций волны электрического типа имеет место максимальная делокализация поля МШГ: поле здесь занимает наибольший из возможных объемов.

Значения минимумов f_{min} как функции индекса моды n и ширины слоя Δ_{min} (в мкм) хорошо аппроксимируются зависимостями

$$f_{\text{min}}(n) \approx (6.5289) \times 10^{-2}n + 101.42, \tag{22}$$

$$\Delta_{\text{min}}(n) \approx -(3.238) \times 10^{-4}n + 3.607.$$

Как видно из рис.2, параметр f , так же как и эффективный объем, перестает существенным образом меняться, начиная с некоторой определенной ширины слоя $\Delta_s > \Delta_{\text{min}}$. Функция, которая определяет смещение минимума параметра f при изменении индекса моды, будет, очевидно, иметь линейный характер, подобный характеру зависимости $\Delta_{\text{min}}(n)$, представленной в (22). При уменьшении ширины слоя видно резкое уменьшение f , соответствующее столь же резкому увеличению эффективного объема, т. е. процессу делокализации МШГ, который, однако, продолжается только при уменьшении ширины до значения, соответствующего Δ_{min} . С дальнейшим уменьшением ширины эффективный объем моды быстро стремится к нулю.

Как видно на рис.3, для зависимости f -параметра радиальной проекции МШГ E -типа и θ - и φ -проекций поля волны H -типа от ширины слоя минимумов нет. Формулы (20) и (21) могут быть аппроксимированы более простым соотношением

$$f(n, \Delta) \approx (A_3n + B_3)\Delta^{-\alpha_3}, \tag{23}$$

где Δ взято в мкм, а численные коэффициенты даны в табл.3.

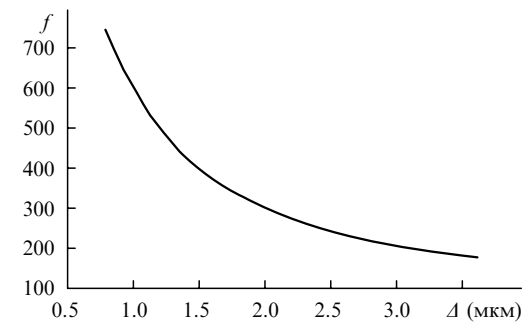


Рис.3. Зависимости f -параметра r -проекции МШГ E -типа и θ -проекции МШГ H -типа от ширины слоя Δ для $n = 2000$ и 3000 (в представленной области они совпадают).

Табл.3. Коэффициенты формулы (23).

Коэффициент	<i>E</i> -тип	<i>H</i> -тип
$10^4 A_3$	7.126	7.859
B_3	597.63	597.32
α_3	0.9962	0.9957

5. Сравнение интенсивностей полей МШГ шара и шарового слоя

Для того чтобы сравнить интенсивности полей МШГ шарового слоя и шара, нам необходимо найти константы возбуждения $C_{nm}^{(E,H)}$. Их можно определить, зная энергию поля МШГ или (как далее поступим мы) задавая внешний источник излучения, который возбудит моду шепчущей галереи в исследуемой структуре. Здесь мы не будем рассматривать все способы возбуждения МШГ в шаровом слое, поскольку они полностью совпадают с методами их возбуждения в сплошном шаре и подробно рассмотрены в [10]. Для сравнения интенсивностей необходимо лишь выбрать одинаковый способ возбуждения МШГ как в шаровом слое, так и в сплошном шаре.

Рассмотрим для определенности случай возбуждения МШГ плоской монохроматической волной. В соответствии с работой [10] можно возбудить МШГ плоской волной в плоскости, параллельной направлению распространения волны. Если волна распространяется вдоль оси *x* и поляризована вдоль оси *y* или *z*, то такими плоскостями будут *xу* и *xz*. При этом для волны, поляризованной вдоль оси *y*, в азимутальной плоскости *xу* будут возбуждаться МШГ *E*-типа, а в плоскости *xz* – *H*-типа. Для волны, поляризованной вдоль оси *z*, картина возбуждения будет обратной.

Предполагая частоту плоской волны близкой к частоте МШГ и сравнивая энергии полей МШГ, построенных по теориям Ми [18] и Вайнштейна [9], находим константы возбуждения для случая $m = n$:

$$|C_{nm}^{(E)}|^2 = \left\{ E_0 \frac{1}{(2n)!!} \left[\frac{2n+1}{n+1} \right] |b_n| \right\}^2, \quad (24)$$

$$|C_{nm}^{(H)}|^2 = \left\{ E_0 \frac{1}{(2n)!!} \left[\frac{2n+1}{n+1} \right] |a_n| \right\}^2,$$

где E_0 – амплитуда падающей волны; a_n и b_n – так называемые коэффициенты Ми [18], имеющие для диэлектрического шара радиусом R с проницаемостью ε следующий вид:

$$a_n^{(sp)} = \frac{j_n(kR)}{j_n(kR\varepsilon^{1/2})} \left[\frac{j'_n(kR)}{j_n(kR)} - \frac{h'_n(kR)}{h_n(kR)} \right] \times \left[\frac{j'_n(kR\varepsilon^{1/2})}{j_n(kR\varepsilon^{1/2})} - \frac{1}{\varepsilon^{1/2}} \frac{h'_n(kR)}{h_n(kR)} \right]^{-1}, \quad (25)$$

$$b_n^{(sp)} = \frac{j_n(kR)\varepsilon^{1/2}}{j_n(kR\varepsilon^{1/2})} \left[\frac{j'_n(kR)}{j_n(kR)} - \frac{h'_n(kR)}{h_n(kR)} \right] \times \left[\frac{j'_n(kR\varepsilon^{1/2})}{j_n(kR\varepsilon^{1/2})} - \varepsilon^{1/2} \frac{h'_n(kR)}{h_n(kR)} \right]^{-1},$$

Из граничного условия на внешней поверхности шарового слоя ($r = b$) имеем выражения [19]

$$a_n^{(sh)} = \frac{j_n(kb)}{[j_n(kb\varepsilon^{1/2}) - \beta_n j_{-n-1}(kb\varepsilon^{1/2})]} \left[\frac{j'_n(kb)}{j_n(kb)} - \frac{h'_n(kb)}{h_n(kb)} \right] \times \left[\frac{j'_n(kb\varepsilon^{1/2}) - \beta_n j'_{-n-1}(kb\varepsilon^{1/2})}{j_n(kb\varepsilon^{1/2}) - \beta_n j_{-n-1}(kb\varepsilon^{1/2})} - \frac{1}{\varepsilon^{1/2}} \frac{h'_n(kb)}{h_n(kb)} \right]^{-1}, \quad (26)$$

$$b_n^{(sh)} = \frac{j_n(kb)\varepsilon^{1/2}}{j_n(kb\varepsilon^{1/2}) - \beta_n j_{-n-1}(kb\varepsilon^{1/2})} \left[\frac{j'_n(kb)}{j_n(kb)} - \frac{h'_n(kb)}{h_n(kb)} \right] \times \left[\frac{j'_n(kb\varepsilon^{1/2}) - \beta_n j'_{-n-1}(kb\varepsilon^{1/2})}{j_n(kb\varepsilon^{1/2}) - \beta_n j_{-n-1}(kb\varepsilon^{1/2})} - \varepsilon^{1/2} \frac{h'_n(kb)}{h_n(kb)} \right]^{-1}.$$

Удовлетворяя граничным условиям на внутренней поверхности слоя ($r = a$), получаем дополнительные соотношения [19], из которых находим значения параметра β_n . Эти выражения имеют вид

$$\frac{j'_n(ka\varepsilon^{1/2}) - \beta_n j'_{-n-1}(ka\varepsilon^{1/2})}{j_n(ka\varepsilon^{1/2}) - \beta_n j_{-n-1}(ka\varepsilon^{1/2})} = \varepsilon^{1/2} \frac{j'_n(ka)}{j_n(ka)} \quad (27)$$

для коэффициентов $b_n^{(sh)}$ и

$$\frac{j'_n(ka\varepsilon^{1/2}) - \beta_n j'_{-n-1}(ka\varepsilon^{1/2})}{j_n(ka\varepsilon^{1/2}) - \beta_n j_{-n-1}(ka\varepsilon^{1/2})} = \frac{1}{\varepsilon^{1/2}} \frac{j'_n(ka)}{j_n(ka)} \quad (28)$$

для коэффициентов $a_n^{(sh)}$. В формулах (25)–(28) $k = \omega/c$, где ω – частота плоской волны. Дополнительные индексы (sp и sh) введены для того, чтобы отличить коэффициенты Ми от их аналогов для шарового слоя.

Рассмотрим коэффициенты (26) вблизи центра резонансной частоты МШГ. Используя методику Вайнштейна [9] представления цилиндрических функций больших индексов через функции Эйри и ограничиваясь первым членом по малой величине $|\text{Im}\omega_n/\text{Re}\omega_n|:1/Q$, можно показать (см. Приложение), что

$$\frac{j'_n(kb\varepsilon^{1/2}) - \beta_n j'_{-n-1}(kb\varepsilon^{1/2})}{j_n(kb\varepsilon^{1/2}) - \beta_n j_{-n-1}(kb\varepsilon^{1/2})} - \varepsilon^{1/2} \frac{h'_n(kb)}{h_n(kb)} \approx -\frac{i}{2Q_n^{(E)}} \left(n + \frac{1}{2} \right) \left\{ \varepsilon^2 - (\varepsilon - 1) \exp \left[2 \left(1 - \frac{1}{\varepsilon} \right)^{-1/2} + \left(1 - \frac{1}{\varepsilon} \right)^{1/2} \right] - \frac{2i}{2\beta_n + i} \right\}, \quad (29)$$

$$\frac{j'_n(kb\varepsilon^{1/2}) - \beta_n j'_{-n-1}(kb\varepsilon^{1/2})}{j_n(kb\varepsilon^{1/2}) - \beta_n j_{-n-1}(kb\varepsilon^{1/2})} - \frac{1}{\varepsilon^{1/2}} \frac{h'_n(kb)}{h_n(kb)} \approx -\frac{i}{2Q_n^{(H)}} \left(n + \frac{1}{2} \right) \left(2\varepsilon \frac{2\beta_n}{2\beta_n + i} - 1 \right).$$

Аналогичные выражения для шара можно получить, положив $\beta_n = 0$ и $b \rightarrow R$.

Таким образом, для отношения коэффициентов (24) слоя и шара в резонансе мы легко получаем следующие выражения:

$$\left| \frac{C_n^{(sh)E}}{C_n^{(sp)E}} \right| \approx \frac{1}{(4|\beta_n|^2 + 1)^{1/2}} \times$$

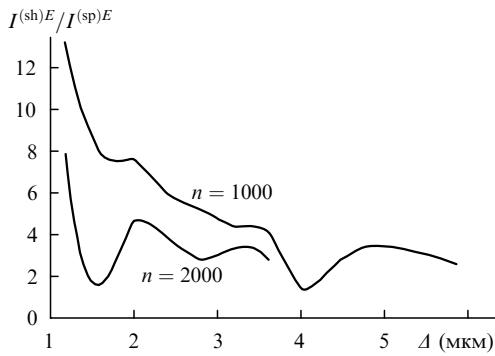


Рис.4. Зависимости отношения максимумов интенсивностей φ -проекции МШГ E -типа слоя со средним радиусом 300 мкм и шара радиусом 300 мкм от ширины слоя Δ для $n = 1000$ и 2000 .

$$\begin{aligned} & \times \left| 1 + \frac{2[2\beta_n/(2\beta_n + i)]}{(\varepsilon - 1)\{\exp[2(1 - 1/\varepsilon)^{-1/2} + (1 - 1/\varepsilon)^{1/2}] - \varepsilon - 1\}} \right|^{-1} \\ & \times \frac{Q_n^{(sh)E}}{Q_n^{(sp)E}} \exp\left(\frac{4}{\varepsilon} \operatorname{Re} \frac{2\beta_n}{2\beta_n + i}\right), \\ & \left| \frac{C_n^{(sh)E}}{C_n^{(sp)E}} \right| \approx \frac{1}{(4|\beta_n|^2 + 1)^{1/2}} \left| 1 - 2\varepsilon \left(\frac{2\beta_n}{2\beta_n + i} \right) \right|^{-1} \\ & \times \frac{Q_n^{(sh)H}}{Q_n^{(sp)H}} \exp\left(4 \operatorname{Re} \frac{2\beta_n}{2\beta_n + i}\right). \end{aligned} \tag{30}$$

Построим сначала отношение максимумов интенсивностей полей для φ -проекции поля E -типа в зависимости от толщины слоя. Для упрощения расчета положим отношение добротностей МШГ слоя и шара равным единице. Будем нормировать интенсивность МШГ слоя со средним радиусом 300 мкм на интенсивность МШГ шара радиусом 300 мкм. На рис.4 представлены зависимости для индексов мод $n = 1000$ и 2000 . Хорошо видна тенденция к увеличению отношения максимумов интенсивностей при уменьшении ширины слоя. Заметно также уменьшение отношения с увеличением индекса моды. На рис.5 представлены зависимости отношения максимумов интенсивности θ -проекции поля H -типа от ширины слоя для $n = 1000$ и 2000 . Для них характерна яркая немонотонность зависимости – чередование минимумов и максимумов, причем значения последних растут при увеличении ширины слоя и индекса моды.

Физически ясно, что шаровой слой при уменьшении

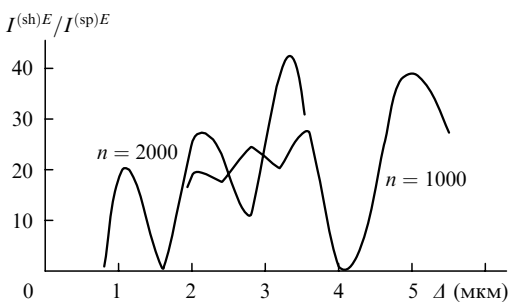


Рис.5. Зависимости отношения максимумов интенсивностей θ -проекции МШГ H -типа слоя со средним радиусом 300 мкм и шара радиусом 300 мкм от ширины слоя Δ для $n = 1000$ и 2000 .

ширины должен терять энергию поля МШГ вследствие образования так называемых вытекающих волн [16], перекачивающих энергию в полость шара и в окружающую слой среду. В случае плоской диэлектрической пластинки потери поля становятся заметными начиная с некоторого характерного значения ее толщины [16]. При этом поле одинаковым образом вытекает по обе стороны от пластинки. В рассматриваемом нами случае процесс вытекания поля происходит иначе [19]. Начиная с ширины (см. Приложение)

$$(b - a)_H \approx 2R \left[\left(n + \frac{1}{2} \right) \left(1 - \frac{1}{\varepsilon} \right)^{1/2} \right]^{-1}, \tag{31}$$

где $R = 0.5(b + a)$, поле МШГ H -типа выталкивается в полость, ограниченную слоем, а при дальнейшем уменьшении ширины, начиная со значения

$$\begin{aligned} (b - a)_E \approx 2R \left[\left(n + \frac{1}{2} \right) \left(1 - \frac{1}{\varepsilon} \right)^{1/2} \right]^{-1} \\ \times \exp \left[-2 \left(\frac{\varepsilon}{\varepsilon - 1} \right)^{1/2} - \left(1 - \frac{1}{\varepsilon} \right)^{1/2} \right], \end{aligned} \tag{32}$$

поле МШГ электрического типа вытекает во внешнюю среду.

6. Выводы

Таким образом в результате проведенного исследования показано, что

- существует предельная толщина шарового слоя, при которой возможно возбуждение в нем МШГ с большой добротностью;
- эффективный объем МШГ в шаровом слое может быть меньше эффективного объема МШГ в однородном шаре;
- амплитуда интенсивности МШГ слоя существенно зависит от его ширины и номера моды и может быть до $\sim 10^2$ раз больше интенсивности МШГ сплошного шара, что улучшает эффективность нелинейных преобразований излучения в шаровом слое;
- резонансная частота МШГ в слое зависит от толщины слоя, и это дает возможность плавно изменять резонансную частоту МШГ при фиксированном диаметре шара;
- формула (10) позволяет вычислять собственную частоту МШГ в диэлектрическом шаровом слое, не прибегая к численному решению характеристического уравнения, причем точность вычисления линейно возрастает с увеличением индекса моды n .

Приложение

В данном приложении получены уравнения для собственных частот МШГ в случае слоя малой ширины (с условием малости $\alpha = (b - a)/(b + a) \ll 1$) и значения ширины слоя, соответствующие отсутствию потерь внутри полости для МШГ E -типа и вне ее – для мод H -типа.

Так как внутренний и внешний радиусы слоя можно выразить через его средний радиус R (который мы полагаем постоянным) в виде $a = R(1 - \alpha)$ и $b = R(1 + \alpha)$, то, используя условие малости α и введя функции

$$F_n(x) = \frac{j'_n(x) - \beta_n j'_{-n-1}(x)}{j_n(x) - \beta_n j_{-n-1}(x)}, \tag{П1}$$

$$\Psi_n(x) = \frac{j'_n(x)}{j_n(x)}, \quad \Phi_n(x) = \frac{h'_n(x)}{h_n(x)},$$

уравнения системы (6) представим следующим образом (сохранен лишь первый порядок по α):

$$\begin{aligned} F_n(kR(\varepsilon\mu)^{1/2}) &\approx \left(\frac{\varepsilon}{\mu}\right)^{1/2} \Psi_n(kR) - \alpha kR \left(\frac{\varepsilon}{\mu}\right)^{1/2} \\ &\times [\partial_x \Psi_n(x)|_{x=kR} - \mu \partial_x F_n(x)|_{x=kR(\varepsilon\mu)^{1/2}}], \\ F_n(kR(\varepsilon\mu)^{1/2}) &\approx \left(\frac{\varepsilon}{\mu}\right)^{1/2} \Phi_n(kR) + \alpha kR \left(\frac{\varepsilon}{\mu}\right)^{1/2} \\ &\times [\partial_x \Phi_n(x)|_{x=kR} - \mu \partial_x F_n(x)|_{x=kR(\varepsilon\mu)^{1/2}}]. \end{aligned} \tag{П2}$$

Для производных этих функций имеем следующие выражения [17]:

$$\begin{aligned} \partial_x F_n(x) &= -\left(1 + \frac{1}{2x^2}\right) + \frac{(2n+1)^2}{4x^2} + F_n(x) \left[\frac{1}{2x} - F_n(x)\right] \\ &+ \frac{1}{2x} \left[\frac{(4n+1)j_{n+1}(x) + \beta_n(4n+3)j_{-n}(x)}{j_n(x) - \beta_n j_{-n-1}(x)}\right] \\ &+ \frac{2n+1}{4x^2} \frac{j_n(x) + \beta_n j_{-n-1}(x)}{j_n(x) - \beta_n j_{-n-1}(x)}, \\ \partial_x \Phi_n(x) &= -\left(1 + \frac{3}{4x^2}\right) - \frac{2n+1}{4x^2} + \frac{1}{2x} \Phi_n(x) \\ &- \frac{1}{2x} \frac{h_{n-1}(x) - h_{n+1}(x)}{h_n(x)} + \frac{h_{n-1}(x) h_{n+1}(x)}{h_n(x) h_n(x)}, \\ \partial_x \Psi_n(x) &= -\left(1 + \frac{3}{4x^2}\right) - \frac{2n+1}{4x^2} + \frac{1}{2x} \Psi_n(x) \\ &- \frac{1}{2x} \frac{j_{n-1}(x) - j_{n+1}(x)}{j_n(x)} + \frac{j_{n-1}(x) j_{n+1}(x)}{j_n(x) j_n(x)}. \end{aligned} \tag{П3}$$

Далее, следуя методике Вайнштейна (9), упростим выражения (П3) в области $kR(\varepsilon\mu)^{1/2} \approx n + 1/2$. Опустив подробные выкладки, в результате преобразований получим следующие соотношения:

$$\begin{aligned} \frac{h_{n-1}(kR)}{h_n(kR)} &\approx \exp[-\operatorname{arccosh}(\varepsilon\mu^{1/2})], \\ \frac{h_{n+1}(kR)}{h_n(kR)} &\approx \exp\left[2\left(\frac{\varepsilon\mu}{\varepsilon\mu-1}\right)^{1/2} + \operatorname{arccosh}(\varepsilon\mu^{1/2}) + \left(1 - \frac{1}{\varepsilon\mu}\right)^{1/2}\right], \\ j_{n+1}(kR(\varepsilon\mu)^{1/2}) &\approx \frac{1}{2} v_n^{1/2} (-2.3381)^{-1/4} (-i)^{1/2}, \\ j_{-n}(kR(\varepsilon\mu)^{1/2}) &\approx v_n^{1/2} (-2.3381)^{-1/4} i^{1/2}. \end{aligned} \tag{П4}$$

Подставляя их в (П3), а затем полученные выражения в (П1), получаем систему уравнений вида

$$\begin{aligned} F_n(kR(\varepsilon\mu)^{1/2}) &\approx \left(\frac{\varepsilon}{\mu}\right)^{1/2} \Phi_n(kR) + \frac{\alpha}{\mu} \left(n + \frac{1}{2}\right) \\ &\times \left\{ \mu\varepsilon^2 - (\varepsilon - 1) \exp\left[2\left(\frac{\varepsilon\mu}{\varepsilon\mu-1}\right)^{1/2} + \left(1 - \frac{1}{\varepsilon\mu}\right)^{1/2}\right] \right. \\ &\left. + \mu \frac{2\beta_n - i}{2\beta_n + i} - 1 \right\}, \end{aligned} \tag{П5}$$

$$\begin{aligned} F_n(kR(\varepsilon\mu)^{1/2}) &\approx \left(\frac{\varepsilon}{\mu}\right)^{1/2} \Psi_n(kR) - \frac{\alpha}{\mu} \left(n + \frac{1}{2}\right) \\ &\times \left\{ \mu\varepsilon^2 - (\varepsilon - 1) \exp\left[2\left(\frac{\varepsilon\mu}{\varepsilon\mu-1}\right)^{1/2} + \left(1 - \frac{1}{\varepsilon\mu}\right)^{1/2}\right] \right. \\ &\left. + \mu \frac{2\beta_n - i}{2\beta_n + i} - 1 \right\}. \end{aligned}$$

Из (П5), используя формулы (12) и (15), нетрудно получить выражение для добротности радиационных потерь, т. к. для комплексной величины Δt_n , введенной в (12), имеем

$$\begin{aligned} \operatorname{Im}\Delta t_n &= \frac{4\beta_n}{4\beta_n^2 + 1} \left\{ \left[\frac{\varepsilon}{\mu}(\varepsilon\mu - 1)\right]^{1/2} \pm \frac{\alpha}{\mu} \left(n + \frac{1}{2}\right) \right. \\ &\times \left\{ (\varepsilon - 1) \exp\left[2\left(\frac{\varepsilon\mu}{\varepsilon\mu-1}\right)^{1/2} + \left(1 - \frac{1}{\varepsilon\mu}\right)^{1/2}\right] - \mu\varepsilon^2 + 1 \right\} \\ &\left. \times (A_n^2 + B_n^2)^{-1} \right\} \frac{1}{v_n}, \end{aligned} \tag{П6}$$

где

$$\begin{aligned} A_n &= \left[\frac{\varepsilon}{\mu}(\varepsilon\mu - 1)\right]^{1/2} \pm \frac{\alpha}{\mu} \left(n + \frac{1}{2}\right) \\ &\times \left\{ (\varepsilon - 1) \exp\left[2\left(\frac{\varepsilon\mu}{\varepsilon\mu-1}\right)^{1/2} + \left(1 - \frac{1}{\varepsilon\mu}\right)^{1/2}\right] \right. \\ &\left. - \mu\varepsilon^2 - \mu \frac{4\beta_n^2 - 1}{4\beta_n^2 + 1} + 1 \right\}; \end{aligned} \tag{П7}$$

$$B_n = \frac{4\beta_n}{4\beta_n^2 + 1} \alpha \left(n + \frac{1}{2}\right).$$

Знак «±» в (П6), (П7) означает, что в случае знака «+» выражения относятся к первой формуле (П5), а в случае знака «-» они соответствуют второй формуле (П5).

При подстановке в формулу (15) в выражении (П6) меняется знак на внутренней поверхности слоя в точке, где

$$\begin{aligned} &\left[\frac{\varepsilon}{\mu}(\varepsilon\mu - 1)\right]^{1/2} - \frac{\alpha}{\mu} \left(n + \frac{1}{2}\right) \\ &\times \left\{ (\varepsilon - 1) \exp\left[2\left(\frac{\varepsilon\mu}{\varepsilon\mu-1}\right)^{1/2} + \left(1 - \frac{1}{\varepsilon\mu}\right)^{1/2}\right] \right. \\ &\left. - \mu\varepsilon^2 + 1 \right\} = 0, \end{aligned} \tag{П8}$$

поскольку

$$(\varepsilon - 1) \exp \left[2 \left(\frac{\varepsilon \mu}{\varepsilon \mu - 1} \right)^{1/2} + \left(1 - \frac{1}{\varepsilon \mu} \right)^{1/2} \right] + 1 > \mu \varepsilon^2$$

для $\mu = 1$ и $\varepsilon = 2.347$.

Из формулы (П8) следует выражение для ширины слоя, соответствующей отсутствию потерь на излучение в полость, для волн E -типа. Таким образом, при $\mu = 1$ имеем

$$(b - a)_E \approx 2R \left[\left(n + \frac{1}{2} \right) \left(1 - \frac{1}{\varepsilon} \right)^{1/2} \right]^{-1} \times \exp \left[- 2 \left(\frac{\varepsilon}{\varepsilon - 1} \right)^{1/2} - \left(1 - \frac{1}{\varepsilon} \right)^{1/2} \right]. \quad (\text{П9})$$

Для волн магнитного типа после аналогичных рассуждений получаем следующую формулу ($\mu = 1$):

$$(b - a)_H \approx 2R \left[\left(n + \frac{1}{2} \right) \left(1 - \frac{1}{\varepsilon} \right)^{1/2} \right]^{-1}. \quad (\text{П10})$$

Заметим, что в случае поля магнитного типа знак в выражении (П6) меняется на внешней поверхности шарового слоя.

1. Ilchenko V.S., Gorodetsky M.L. *Laser Phys.*, **2**, 1004 (1992).
2. Gorodetsky M.L., Ilchenko V.S. *Opt. Commun.*, **113**, 133 (1994).
3. Васильев В.В., Величанский В.Л., Городецкий М.Л., Ильченко В.С., Хольберг Л., Яровицкий А.В. *Квантовая электроника*, **23**, 675 (1996).
4. Vernoooy D.W., Ilchenko V.S., Mabuchi H., Streed E.W., Kimble H.J. *Opt. Lett.*, **23**, 247 (1998).
5. Ораевский А.Н., Скалли М., Величанский В.Л. *Квантовая электроника*, **25**, 211 (1998).
6. Oraevsky A.N., Scully M.O., Sarkisyan T.V., Bandy D.K. *Laser Phys.*, **9**, 990 (1999).
7. Ораевский А.Н., Бенди Д.К. *Квантовая электроника*, **22**, 211 (1995).
8. *Optical Effects Associated with Small Particles*. Eds by P.W.Barber, R.K.Chang (Singapore: World Scientific, 1988).
9. Вайнштейн Л.А. *Открытые резонаторы и открытые волноводы* (М.: Сов. радио, 1966).
10. Ораевский А.Н. *Квантовая электроника*, **32**, 377 (2002).
11. Oldenburg S.J., Averitt R.D., Westcott S.L., Halas N.J. *Chem. Phys. Lett.*, **288**, 243 (1998).
12. Averitt R.D., Sarkar D., Halas N.J. *Phys. Rev. Lett.*, **22**, 4217 (1997).
13. Eto M., Kawamura K. *Phys. Rev. B*, **51**, 10119 (1995).
14. Bhandari R. *Appl. Opt.*, **24**, 1960 (1985).
15. Rojas R., Claro F., Fuchs R. *Phys. Rev. B*, **37**, 6799 (1988).
16. Вайнштейн Л.А. *Электромагнитные волны* (М.: Радио и связь, 1986).
17. *Справочник по специальным функциям*. Под ред. М.Абрамовица, И.Стиган (М.:Наука, 1979).
18. Стреттон Дж.А. *Теория электромагнетизма* (М.-Л.: ОГИЗ, 1948).
19. Гузатов Д.В. *Моды шепчущей галереи шарового слоя диэлектрика* (Дипл. работа, М., МИФИ, 2001).